国立研究開発法人国立精神・神経医療研究センター 精神・神経疾患研究開発費研究事業実績報告書

令和3年 4月 1日

国立研究開発法人

国立精神・神経医療研究センター理事長 殿

(主任研究者)

所属施設 NCNP 病院放射線診療部

氏 名 佐藤 典子



令和2年3月31日付で採択された下記研究課題について、取扱細則第6条のとおり報告いたします。

記

課題番号 30-10

研究課題名 精神・神経疾患での脳画像撮像および解析手法の標準化に関する研究

- 1. 総括研究報告(別添)
- 2. 分担研究報告(別添)
- 3. 英文概要(別添)

主任研究者

国立研究開発法人国立精神・神経医療研究センター 放射線診療部 部長 佐藤 典子

総括研究報告

1、研究目標

最近導入された脳画像の統計解析は機能的画像のみならず形態的画像にも応用され、客観的診断法として広く用いられるようになった。しかし、画像診断装置の違いによる影響を受けやすいことなどが問題となっている。本研究では、多施設共同研究のために新しい画像解析手法の標準化を行うことを目的とする。

まず構造 MRI の機種間差をなくすために、人工知 能(AI)を用いた機械学習による標準化を行う。 さらに新しい解析手法である脳年齢測定を標準化 する。MRI から測定された脳年齢と暦年齢の差を 測定することにより、この年齢差とアミロイド PET やタウ PET により得られる蛋白の異常な蓄積 との関連を検討する。次いでグラフ解析法を構造 MRI である全脳の3次元協調画像や拡散テンソル 画像にグループのみではなく、個々脳症例にも応 用し、神経変性疾患の早期および鑑別診断におけ る構造ネットワーク解析の臨床的有用性を検討す る。MR 脳血流測定法 Arterial spin labeling(ASL)法では、脳の各領域での到達時間を 補正した脳血流画像の開発をめざす。MR spectroscopy(MRS)については、複数の手法を用い て再現性やばらつき等の精度評価と疾患への応用 を検討する。さらに脳内鉄沈着や神経線維描出に 優れている位相差協調画像 phase difference enhanced imaging (PADRE)を用いて、年齢による 神経線維描出の変化を示し、また神経変性新患へ の応用を試みる。CT-PET/SPECT においては定量性 向上手法の開発を進める。さらに複数のモダリテ ィから得られる脳画像データ(多重モダリティ脳画 像データ)から有効かつ精度良く情報を引き出すた

めの統計解析手法を開発する。

2、研究組織

主任研究者

松田 博史 国立精神・神経医療研究センター (平成30年度、令和1年度)

佐藤 典子 国立精神・神経医療研究センター (令和2年度)

分担研究者

佐藤 典子 国立精神・神経医療研究センター (平成30年度、令和1年度)

松田 博史 一般財団法人脳神経疾患研究所・附属南東北創薬・サイクロトロン研究センター (令和2年度)

湯浅 哲也 山形大学大学院理工学研究科

川口 淳 佐賀大学医学部

原田 雅史 徳島大学病院放射線診療科

高野 晴成 国立精神・神経医療研究センター (平成30年度、令和1年度)

花川 隆 国立精神・神経医療研究センター (平成30年度、令和1年度)

木村有喜男 国立精神・神経医療研究センター (令和2年度)

研究協力者

沖田 恭治 国立精神・神経医療研究センター 小川 雅代 国立精神・神経医療研究センター 重本 蓉子 国立精神・神経医療研究センター 曾根 大地 国立精神・神経医療研究センター 高村 恒人 国立精神・神経医療研究センター 加藤 孝一 国立精神・神経医療研究センター 東口 大樹 国立精神・神経医療研究センター 坂東 杏太 国立精神・神経医療研究センター 吉田 寿子 佐賀大学医学部臨床研究センター 鮎川 裕香 山形大学大学院理工学研究科 荒木 啓史 山形大学大学院理工学研究科 佐藤 学 山形大学大学院理工学研究科 新垣 竜一 山形大学大学院理工学研究科 岩渕 玲 山形大学大学院理工学研究科 加藤 晃輝 山形大学大学院理工学研究科

3、研究成果

MRI を用いた脳画像解析は、再現性・客観性・定 量性に優れた疾患の代理バイオマーカーであるが、 磁場強度など撮像装置の特性の違いが、画像解析の 計測値へ影響を及ぼす機種間差の問題となってい る。MRI の磁場強度等による MRI の画質の違いから 生まれる機種間差を補正するために、MR 画像を用 いて経験的ベイズ推定を用いた ComBat 法による harmonize により機械学習の標準化を行った。3T MRI における 1196 名の健常ボランティアの 3 DT1 強 調を用いて Support Vector Regression による脳 年齢推定モデルを構築し、検証データセットとして、 J-ADNI 健常者の 1.5T MRI を用いた。ComBat 法適応 前では学習データセットと検証データセットに有 意な差が認められたことから、異なる磁場強度間で は構築した機械モデルが汎化性を有していないこ とを示した。一方 ComBat 法適応後は、学習データ セットと検証データセットとの差をなく、検証デー タセットの推定精度も有意に改善したことから、 ComBat 法により異なる磁場強度間であっても機械 学習が適応可能になることを示した。1.5T と 3T MRI 間での機械学習による脳年齢推定の精度が向上 することが示された。これは AI 技術により多施設 での多数のデータを必要とする MRI 解析研究の汎 化性の向上に寄与できることを示した。

脳年齢に関する疾患応用であるが、数百例の広範囲の年齢のMRI T1強調画像から灰白質のみを抽出し、教師データとして灰白質分布を機械学習させ、この教師データに個人の灰白質画像を導入し、脳年齢の測定結果を暦年齢と比較した。その結果、アルツハイマー病脳では、60歳で15年程度、脳年齢が暦年齢よりも高いことが判明した。さらに、この手法をよりアルツハイマー病のより早期の段階やてんかん症例、パーキンソン病にも応用した。また、

T1 強調画像を 2mm ボクセルを X, Y, Z 方向に 3 個ずつまとめることにより、合計 27 ボクセルの領域とし、この領域間の個人脳での類似性を探索することにより個人の脳でグラフ理論に基づくネットワーク解析の可能性を示す事ができた。加齢に伴い、クラスタリング係数が減少し、スモールワールド性も減少した。また、女性は男性よりも全体的に構造ネットワーク効率が優れていることが判明した。局所的には、左海馬や海馬傍回で特に女性でネットワーク構築が密であり、言語機能との関連が示唆された。アミロイド陽性のアルツハイマー病スペクトラム群では、タウ蓄積により構造ネットワークが脆弱化するのに対し、アミロイド陰性の健常高齢者群では構造ネットワークがより強固になることを発見した。

MRI を用いた ASL 法の脳血流定量値の再現性は、 血流遅延マップと遅延補正脳血流量を算出できる Multi-delay pCASL 法を作成し検討したところ、女 性は男性よりやや低いが、男女ともに再現性は良好 な結果を示した。男性と女性の脳血流定量値では、 各部位で女性の方が男性よりも高値であり、卵胞期 の方が黄体期よりも高値である傾向が認められた。 つまり ASL の標準化の際、男女差と性周期を考慮す べきである。さらに小児の AD/HD 症例にてもこの手 法を用いて脳灌流を評価し、脳形態解析と併せて比 較検討を行ったところ、男児では縁上回における血 流や容積の低下が、女児では上前頭回の血流や容積 増加を示した。Multi-delay pCASL 法は非侵襲的に 小児の脳血流を評価でき、脳機能異常に関する灌流 評価を臨床的に検出できた。被曝がなく、薬剤の投 与も必要のない本手法は、小児の脳血流評価として 適していると考えられた。MRS の標準化においては 高磁場 MRI 装置においては、化学シフトによる測定 領域の設定との位置ズレが課題である。今回は臨床 用 3T MRI 装置でも応用可能な Semi-Laser 法を開 発し、従来の STEAM 法と PRESS 法と比較するため に、MRS 用ファントムにて検討を行った。その結果、 Semi-Laser 法の再現性や変動が他の手法とくらべ て少ないことが示された。

MR 位相差強調画像 PADRE は、位相差を強調して 脳内の組織コントラストを強調する新しい手法で ある。大脳の一次運動野の神経細胞が変性する筋萎 縮性側索硬化症 (ALS) は進行性運動障害をきたす 変性疾患であるが、ALS 患者では中心前回の皮質内 に PADRE で低信号を認め、三層ないし4層構造とし て認められることから Zebra sign と命名された。 多系統萎縮症 (MSA) においても錐体路症状を来す 患者が多いことから、両疾患群におけるこの Zebra sign と臨床症状との関連を比較したところ、ASL で は50%に、MSAでも23%でZebra signを認め、Zebra sign 陽性群は陰性群と比較して upper motor neuron burden score が優位に高かった。Zebra sign は MSA でも認められる所見であり、錐体路症 状との関連が示唆された。また PADRE は従来描出で きなかった脳内の組織構造や神経線維束を描写す ることが可能である。乳児の脳幹や視放線の神経線 維束の描出を比較検討したところ、生後1か月まで は T1 強調画像 T2 協調画像で神経線維束をよりよ く描写できたが、髄消化が進行するについて不明瞭 となった。逆に PADRE では 1 か月までは不明瞭であ ったが、加齢とともに徐々に明瞭に描出されるよう になった。PADRE は鋭敏に小児における微細な脳構 造の発達過程を評価することを可能にし、脳の発達 の評価の指標になりうるものと思われる。またこれ をもとに様々な疾患の診断にも利用可能であると 考える。

イオフルパン SPECT 画像から算出される特異的結合比 Specific Binding Ratio (SBR)は、パーキンソン症候群の鑑別診断に有効な定量的指標であるが、現在は手動で線条体を含む VOI を設定する必要があるため、SBR 値の客観性が損なわれている。それを回避するため、自動的に VOI を設定して SBRを算出するアルゴリズムを開発した。深層学習により、畳み込みニューラルネットワークによる回帰を用いて SBR 値を自動的に算出できることが実証された。

複数のモダリティから得られる脳画像データを用いた解析、多重モダリティ脳画像解析研究の分野のおいては、合成基底関数法と教師付学習法による新しい解析方法 Multiblock Sparse Multivariable Analysis 法を開発した。本手法はマルチモダル脳画像解析として脳の形態と機能などの多側面からの脳病態を評価するものであり、本手法の特徴として画像データから 1 被験者あたり 1 つのスコアを算出することであり、そのスコアがより病態を反映するように研究開発を行った. 脳画像スコアと採血

データ等の画像以外のバイオマーカーとの関連解析を行い、スパースモデリングを応用した疾患予測解析法を開発した。US-ADNIの実データにおいて、MRIとPET、経時測定MRIといった多種の組み合わせデータに提案方法を適用し、その実行可能性と合理的な結果を示し、さらには教師付学習法の性質を詳細に調ベチューニングパラメータ設定について実用上重要な知見を得た。両重みの複数成分を考えたスパースネスト成分法への拡張を提案し、アルツハイマー病の実データに適用し、DTIも加えた解析により性能の評価を行い、良好な結果を得た。

4、研究成果刊行一覧

【論文】

- Goto M, Yamashita F, Kawaguchi A, Abe O, Aoki S, Miyati T, Gomi T, Takeda T; Japanese Alzheimer's Disease Neuroimaging Initiative. The effect of single-scan and scan-pair intensity inhomogeneity correction methods on repeatability of voxel-based morphometry with multiple MR scanners. Journal of Computer Assisted Tomography, 2018;42(1):111-116. doi: 10.1097/RCT.00000000000000657
- 2. Yoshida H, Kawaguchi A, Yamashita F, Tsuruya K The utility of a network—based clustering method for dimension reduction of imaging and non-imaging biomarkers predictive of Alzheimer's disease.

 Scientific Reports 2018.02; 2807 doi: 10.1038/s41598-018-21118-1. 查読有
- 3. Ogawa M, Sone D, Beheshti I, Maikusa N, Okita K, Takano H, Matsuda H. Association between subfield volumes of the medial temporal lobe and cognitive assessments. Heliyon 2019;5(6): e01828. doi;10.1016/j.heliyon.2019.e01828 査読(有)
- 4. Beheshti I, Hossein-Abad HM, Matsuda H, the Japanese-Alzheimer's Disease Neuroimaging Initiative. Identification of Alzheimer's Disease on the Basis of a Voxel-Wise Approach. Appl. Sci. 2019;9:3063. doi:10.3390/app9153063 查読(有)
- 5. Araki Y, Kawaguchi A. Functional logistic discrimination with sparse PCA and its application to the structural MRI. Behaviormetrika, 2019;46(1)

147-162

- 6. Ueda R, Matsuda H, Sato N, Iwasaki M, Sone D, Takeshita E, et al. Alteration of the anatomical covariance network after corpus callosotomy in pediatric intractable epilepsy. PLoS ONE 2019:14(12): e0222876. doi.org/10.1371/journal.pone.0222876 查読(有)
- 7. Hata K, Nakamoto K, Nunomura A, Sone D, Maikusa N, Ogawa M, Sato N, Matsuda H. Alzheimer Dis Assoc Disord. 2019;33(3):206-211. doi: 10.1097/WAD.000000000000318. 查読 有)
- 8. Matsuda H, Yokoyama K, Sato N, Ito K, Nemoto K, Oba H, Hanyu H, Kanetaka H, Mizumura S, Kitamura S, Shinotoh H, Shimada H, Suhara T, Terada H, Nakatsuka T, Kawakatsu S, Hayashi H, Asada T, Ono T, Goto T, Shigemori K. Differentiation between dementia with Lewy bodies And Alzheimer's disease using voxelbased morphometry of structural MRI: A multicenter study. Neuropsychiatric Disease and Treatment 2019;15:2715-2722 doi: 10.2147/NDT.S222966 查読 (有)
- 9. Sone D, Beheshti I, Maikusa N, Ota M, Kimura Y, Sato N, Koepp M, Matsuda H. Neuroimaging-based brain—age prediction in diverse forms of epilepsy a signature of psychosis and beyond Mol Psychiatry. Mol Psychiatry 2019.06;1—10 doi: 10.1038/s41380—019-0446—9. 查読有
- 10. Park K, Nemoto K, Yamakawa Y, Yamashita F, Yoshida K, Tamura M, Kawaguchi A, Arai T, Sasaki M. Cerebral White Matter Hyperintensity as a Healthcare Quotient. Journal of Clinical Medicine, 2019.11;1;8(11):1823. doi: 10.3390/jcm8111823
- 11. Tateishi H, Nishihara M, Kawaguchi A, Matsushima J, Murakawa T, Haraguchi Y, Kunitake Y, Maekawa T, Kato TA, Asami T, Mizoguchi Y, Monji A Improvement of frontal lobe dysfunction and white matter integrity by rTMS in treatment—resistant depression.

 Neuropsychiatric Disease and Treatment 2019.11;3079—3087 doi: 10.2147/NDT.S228501. eCollection 2019. 查読有
- 12. Fukuma R, Yanagisawa T, Kinoshita M, Shinozaki T, Arita H, Kawaguchi A, Takahashi M, Narita Y, Terakawa Y, Tsuyuguchi N, Okita Y, Nonaka M, Moriuchi S, Takagaki M, Fujimoto Y, Fukai J, Izumoto S, Ishibashi K, Nakajima Y, Shofuda T, Kanematsu D,

- Yoshioka E, Kodama Y, Mano M, Mori K, Ichimura K, Kanemura Y, Kishima H. Prediction of IDH and TERT promoter mutations in low-grade glioma from magnetic resonance images using a convolutional neural network. Scientific Reports, 2019.12;30;9(1):20311. doi: 10.1038/s41598-019-56767-3
- 13. Maki Otomo, Masafumi Harada, Takashi Abe, Yuki Matsumoto, Yumi Abe, Yuki Kanazawa, Mitsuharu Miyoshi, Hiroyuki Kabasawa, Yoshitake Takahashi, Reproducibility and variability of quantitative cerebral blood flow measured by multi-delay 3D arterial spin labeling according to sex and menstrual cycle. J Med Invest 2020;67(3.4):321-327. doi: 10.2152/jmi.67.321
- 14. Beheshiti I, Mishra S, Sone D, Khanna P, Matsuda H.
 T1-weighted MRI-driven Brain Age Estimation in
 Alzheimer's Disease and Parkinson's Disease.
 Aging Dis 2020;11(3): 618-628. doi:
 10.14336/AD.2019.0617 査読(有)
- 15. Fujii H, Sato N, Kimura Y, Sugiyama A, Shigemoto Y, Suzuki F, Matsuda H, Sasaki M, Sugimoto H. Delineation of the nerve fiber bundles of the infant brain associated with aging using phase difference—enhanced imaging: a preliminary study. Jpn J Radiol. 2020.03;731-739 doi: 10.1007/s11604-020-00955-z 查 読有
- 16. Sugiyama A, Sato N, Kimura Y, Fujii H, Shigemoto Y, Suzuki F, Tanei ZI, Saito Y, Sasaki M, Takahashi Y, Matsuda H, Kuwabara S. The cerebellar white matter lesions in dentatorubral-pallidoluysian atrophy. J Neurol Sci. 2020.07;117040 doi: 10.1016/j.jns.2020.117040.
- 17. Hiroyuki Fujii, Noriko Sato, Yukio Kimura, Atsuhiko Sugiyama, Yoko Shigemoto, Fumio Suzuki, Hiroshi Matsuda, Masayuki Sasaki, Hideharu Sugimoto. Delineation of the nerve fiber bundles of the infant brain associated with aging using phase difference—enhanced imaging: a preliminary study. Jpn J Radiol. 2020.08;38(8):731-739.
- Otomo M, Harada M, Abe T, Matsumoto Y, AbeY,
 Kanazawa Y, Miyoshi M, Kabasawa H, Takahashi Y,

- Reproducibility and variability of quantitative cerebral blood flow measured by multi-delay 3D arterial spin labeling according to sex and menstrual cycle. J Med Invest 2020.08;321-327 doi: 10.2152/jmi.67.321. 查読有
- 19. Ota M, Kanie A, Kobayashi Y, Nakajima A, Sato N, Horikoshi M. Pseudo-continuous arterial spin labeling MRI study of patients with obsessive-compulsive disorder. Psychiatry Res Neuroimaging. 2020.09;111124 doi: 10.1016/j.pscychresns.2020.111124. 查読有
- 20. Maikusa N, Fukami T, Matsuda H Japanese Alzheimer's Disease Neuroimaging Initiative (J-ADNI). Longitudinal analysis of brain structure using existence probability. Brain Behav. 2020.10;doi: 10.1002/brb3.1869. 查読有
- 21. Sone D, Shigemoto Y, Ogawa M, Maikusa N, Okita K, Takano H, Kato K, Sato N, Matsuda H. Association between neurite metrics and tau/inflammatory pathology in Alzheimer's disease. Alzheimers Dement (Amst) 2020.11;e12125 doi: 10.1002/dad2.12125. 查読有
- 22. Fujii H, Sato W, Kimura Y, Matsuda H, Ota M, Maikusa N, Suzuki F, Amano K, Shin I, Yamamura T, Mori H, Sato N. Altered Structural Brain Networks Related to Adrenergic/Muscarinic Receptor Autoantibodies in Chronic Fatigue Syndrome . J Neuroimaging. 2020.11;822—827 doi: 10.1111/jon.12751. 查読有
- 23. Mitsutake T, Sakamoto M, Kawaguchi A, Tamari M, Horikawa E (2020). Greater functional activation during galvanic vestibular stimulation is associated with improved postural stability: A GVS-fMRI study. Somatosensory & Motor Research, 2020.12;37(4):257-261. doi: 10.1080/08990220.2020.1803256

【図書】

- 1. 川口淳 朝倉書店 画像データの解析. 医学統計学ハンドブック 2018 年7月 714-726
- Matsuda H. Humana Press. Brain Morphometry. 2018 年9月165—181
- Kawaguchi A IntechOpen Supervised sparse components analysis with application to brain imaging data. In

Neuroimaging - Structure, Function and Mind, Golubic SJ (Ed.) 2019年4月1-19

Kawaguchi A CRC Press. Multivariate Analysis for Neuroimaging Data. 2021年6月215

4.

構造の臨床応用に関する研究

分担研究者所属:国立精神神経医療研究セン

ター病院

分担研究者氏名:佐藤典子

緒言

MRI を用いた脳体積の分布から SVR など用いた脳年齢推定は、脳変性疾患の単一な代理バイオマカーとして期待されている。脳年齢推定モデルの構築には、多数の健常データを必要とするが、MRI では磁場強度等による MRI の画質の違いから生まれる機種間差が問題となっている。本研究では、経験的ベイズ推定を用いた ComBat 法による harmonize により機械学習の標準化を行い、汎化性の向上を検討する。

また神経細胞などの萎縮や変性をきたす神経 変性疾患においては、視覚的画像評価での診 断や鑑別が困難なことが多々ある。特定の変 性疾患と正常例との群間比較を行った MR の 画像統計解析の研究は報告されているが、日 常診療でその情報を反映できない現状である。 そこで松田等はアルツハイマー型認知症診断 補助ソフトとして VSRAD(Voxel-based Specific Regional Analysis System for Alzhermer's Disease)を開発した。このソフ トはアルツハイマー型認知症に特異的な関心 領域の灰白質の萎縮度を数値化するもので、 個々の MR 画像を用いて、個々の評価が可能で ある。現在このソフトはアルツハイマー型認 知症に合わせ、60歳以上の正常例の画像がデ ータベースに組みこまれているが、そのデー タベースを対象疾患群の年齢に合わせたデー タベースに置換すれば、他の変性疾患におい ても応用可能である。我々は有棘赤血球舞踏 病とハンチントン病において、白質の萎縮パ ターンが異なることを発見したので、それを VSRAD にて検討する。

また PADRE (phase difference enhanced imaging) は位相画像を用いて脳内の組織コントラストを強調する MRI の新しい手法で、それを用いた Zebra sign が筋萎縮性側索硬化症の診断に有用との報告があるが、多系統萎縮症においてもその有用性と意義を検討する。

方法

3TのMRIで撮像された T1強調像に対して、SPM12[1]を用い Segmentation を行う。DARTEL 法により MNI 標準脳空間へ解剖学的標準化と modulation を行った後、半値幅 4 mm で平滑 化を行った。脳年齢推定のため、脳マスク内の白質・灰白質マップの Voxel 値を取得し主

成分分析により、第100主成分までに次元圧 縮を行った。SVR により年齢の推定モデルを 学習させた。推定モデルを 10-fold 交差検証 により評価絶対平均誤差を求め評価した。ま た、J-ADNI 検証データセットに推定モデルを 適応し同様に評価した。学習データセットと して国立精神・神経医療研究センター病院で 撮像された 20 歳以上の健常ボランティア 1196 名の 3T MRI を用いて脳年齢推定モデル を構築する。検証データセットして、J-ADNI 1.5T MRI で撮像された 146 名の健常者を用い る。本研究において、学習データセットと検 証データセットにおける撮像装置の磁場強度 が異なるため、ComBat 法[2,3,4]による Harmonization により、汎化性の向上を検証す る。ComBatによる機種間差モデルは式(1)で表 される。

 $\delta(i,v)\varepsilon(i,j,v)$ (1) ここで、y(i,j,v)は、i番目の装置で撮像された、j番目の被験者のn番目の voxel で観測された事後確率である。bは事後確率に交絡する共変量でありXはその計画行列である。g及びdはi番目の装置の機種間バイアスの定数項と係数項、eは平均0の誤差項で

 $y(i,j,v) = a(v) + X^{T}(i,j)\beta(v) + \gamma(i,v) +$

る。g 及び dは i 番目の装置の機種間バイアスの定数項と係数項、e は平均 0 の誤差項である。験的ベイズ推定により、推定値 g^* 及び d^* を求め、観測値の harmonize を行う。対応のある t 検定を行い、harmonize 前後の学学習データセットと検証データセットの差を比較した。

また VSRAD をもちいた解析だが、遺伝子診断された 5 例の有棘赤血球舞踏病患者(年齢 37-52 歳、平均 43.6±6.7 歳)と 15 例のハンチントン病患者(年齢 33-75 歳、平均 52.0±13.5 歳)とコントロール 15 人(30-75 歳、平均52.3±13.8 歳)を対象に、臨床所見、各患者の VSRAD 解析、そして 3 群間の VBM での解析を行った。

PADRE における Zebra sign の評価対象疾患は ASL, MSA, コントロールそれぞれ 26 例で、患者 においては上位ニューロン障害を含めた神経 所見を評価した。また疾患、コントロール群 において MR で Zebra sign を 2 名の放射線専 門医が評価した。

灶 甲

検証データセットの平均絶対誤差は、harmonize前では7.64歳であった。harmonize後では5.82歳であり、有意な改善が見られた(p < 0.0001)。 一方、学習データセットと検証データセットの比較では、harmonize前には有意差が見られた(p < 0.0001)が、harmonize後では有意差が認められなかった(p = 0.391)。有棘赤血球舞踏病とハンチントン患者の全例

において不随運動を呈し、また精神症状や認 知障害を両方のグループで多く示した。てん かんは有棘赤血球舞踏病においては 5 例中 4 例示した一方、ハンチントン病では15例中1 例のみだった。VSRAD での灰白質解析ではすべ ての患者では尾状核の萎縮を示したが、有棘 赤血球舞踏病ではより強い萎縮を示し、ハン チントン病では萎縮の程度は弱く、3 例では 片側のみの萎縮であった。白質の解析では有 棘赤血球舞踏病では両側対称性に淡蒼球、比 較、視床が萎縮する特異的パターンを示した。 一方ハンチントン病ではその萎縮のパターン を示す例は2例のみで、残り13例は非特異的 パターンを示した。VBMでの2群間比較では、 両側の前障、視床、右辺縁系の白質のより強 い萎縮を有棘赤血球舞踏病で認めた。

PADRE における Zebra sign の評価だが、ASLでは 50%に Zebra sign を認め、Zebra sign 陽性群は陰性群と比較して upper motor neuron burden score が優位に高かった。 MSA にては 23%で Zebra sign 陽性であった。

考察

本研究の結果から、harmonizeにより1.5T-3T MRI 間での、機械学習による脳年齢推定の精度が向上することが示された。これは多数のデータを必要とする機械学習法における MRI の汎化性の向上を示しているものと考える。 VSRAD による白質解析は有棘赤血球舞踏病とハンチントン病との鑑別に有用であることが示唆された。PADRE における Zebra sign の評価であるが、Zebra sign は MSA でも認められる所見であり、錐体路症状との関連が示唆された。

参考文献

- [1] www.fl.ion.ucl.ac.uk/spm/
- [2] Johnson W E, Cheng L, Rabinovic A: Adjusting batch effects in microarray expression data using empirical Bayes methods. Biostatistics 8(1), 118-127, 2007
- [3] Fortin JP, Parker D, Shinohara RT et al.: Harmonization of multi-site diffusion tensor imaging data. NeuroImage 161, 149-170, 2017
- [4] Fortin JP, Cullen N, Shinohara RT et al.: NeuroImage Harmonization of cortical thickness measurements across scanners and sites. NeuroImage 167, 104–120, 2018 [5] Sugiyama A, Sato N, Kimura Y, et al. Exploring the frequency and clinical background of the "zebra sign" in

amyotrophic lateral sclerosis

multiple system atrophy. J Neurol Sci. 401, 90-94, 2019.

[6] Suzuki F, Sato N, Ota M, et.al. Discriminating chorea-acanthocytosis from Huntington's disease with single-case voxel-based morphometry analysis. J Neurol Sci. 408, 116545, 2019

構造 MRI 解析の臨床応用に関する研究

分担研究者所属:一般財団法人脳神経疾患研 究所南東北創薬・サイクロトロン研究センタ

_

分担研究者氏名: 松田 博史

緒言:人口増加と寿命の延長に伴い、認知機 能低下や認知症などの神経変性疾患を含む、 さまざまな障害を持つ個人の数が増加してい る。脳の老化プロセスと神経変性疾患のメカ ニズムとの関連を理解することが、増大する 負担に対処するための効果的な戦略を確立す るために、医療システムにとって緊急の優先 事項である。老化は非常に複雑なプロセスで あり、多様な遺伝的および環境的影響によっ て個々に修飾される。健康な老化のための事 前に確立された参照曲線に基づくさまざまな 加齢関連疾患に対して被験者固有の健康特性 および被験者固有のリスクパターンを特定す るために、さらには、暦年齢ではなく、「生物 学的年齢」に基づいて個人的に調整された(臨 床) 介入を開発およびモニターするために、 遺伝子、環境、ライフスタイル、健康、および 寿命の相互作用に起因して、個人の「生物学 的年齢」の評価が近年重要視されている。人 間の構造的な脳の成熟/老化はそれぞれ、進行 性および退行性のプロセス/萎縮の非常によ く調整され順序化された発生の領域固有の非 線形パターンによって特徴付けられ、一部の 脳領域が他よりも大きな変化を示す堅牢な変 化パターンを示している。このような観点を 検討する目的で、最近導入された脳画像の統 計解析は機能的画像のみならず形態的画像に も応用され、客観的診断法として広く用いら れるようになった。しかし、画像診断装置の 違いによる影響を受けやすい。本研究では、 多施設共同研究のために MRI による形態的画像の新しい画像解析手法の標準化を行った。 第一に構造 MRI の新しい解析手法である脳年齢測定の標準化を目的とした。 MRI から測定された脳年齢と暦年齢の差を測定することにより、この年齢差とアミロイド PET やタウ PET により得られる蛋白の異常な蓄積との関連を検討した。第二に、グラフ解析法を構造 MRI である全脳の3次元協調画像や拡散テンソル画像にグループのみではなく、個々脳症例にも応用し、神経変性疾患の早期および鑑別診断における構造ネットワーク解析の臨床的有用性を検討した。

方法

20 歳から 95 歳までの 1128 人の認知機能正常 の健康成人グループ A (公開 MRI データであ る IXI, OASIS, US-ADNI) から得られた脳 MRI (3次元 T1強調画像)から灰白質画像と白質 画像を抽出、それぞれの画像パターンと年齢 情報をコンピュータに Support Vector Machine を回帰分析に応用した Support Vector Regression (SVR)を用いて学習させ た。学習後、20歳から95歳までの認知機能正 常の健康成人グループ B (同じく公開 MRI デ ータである J-ADNI, OASIS, IXI) 1473 人の合 計 2023 回測定から得られた灰白質画像と白 質画像両方を加味した脳年齢と暦年齢の相関 を求めた。さらに、J-ADNI の縦断データに応 用し、BAS の推移を健常者 (Normal)、軽度認 知障害(アルツハイマー型認知症に移行した progressive MCI; pMCI と移行しなかった stable MCI; sMCI)、およびアルツハイマー型 認知症 (AD) 患者で検討した。SVR は Matlab 上で作動させた。MRI による脳年齢と暦年齢 の差を Brain Age Score (BAS)と定義した。

個人レベルの灰白質ネットワークは、以前に 記載されている完全に自動化された方法 (https://github.com/bettytijms / Single_Subject_Grey_Matter_Networks;

Ti jms et al, 2012;バージョン 20150902)を使用して、ネイティブスペース灰白下セグメンテーションから皮質内類似性に基づいて抽出された。節点は脳領域の小さな関心領域(3×3×3ボクセル立方体として定義される)を表し、連結性はピアソンの相関で定量化された灰白質密度値の類似性に基づき解析した。

結果:公開データを用いて学習させた脳年齢 推定システムを、別の公開データに応用し健 常者の脳年齢を測定したところ、若年者では 暦年齢よりも高値、高齢者では暦年齢よりも 低値を示した。 これは、回帰分析に固有の 回帰希釈バイアスによるものと考えられたた め、暦年齢に対応したオフセット値を算出 し、脳年齢から差し引くことにより暦年齢と 脳年齢の一致をみた。本測定システムを J-ADNI データに応用したところ、健常者では 暦年齢と脳年齢が縦断的にも一致し、本シス テムが経過観察にも応用しうることが判明し た。ADとpMCIでは経年的にBASが増加して おり、神経変性の加速化を反映しているもの と艦がられる。一方、sMCI ではこのような BAS の経年的な増大はみられず、pMCI との鑑 別にも応用できる可能性が示唆された。個人 脳での類似性を探索することにより個人の脳 でグラフ理論に基づくネットワーク解析の可 能性を示す事ができた。加齢に伴い、クラス タリング係数が減少し、スモールワールド性 も減少した。また、女性は男性よりも全体的 に構造ネットワーク効率が優れていることが 判明した。局所的には、左海馬や海馬傍回で 特に女性でネットワーク構築が密であり、言

語機能との関連が示唆された。アミロイド陽性のアルツハイマー病スペクトラム群では、タウ蓄積により構造ネットワークが脆弱化するのに対し、アミロイド陰性の健常高齢者群では構造ネットワークがより強固になることを発見した。

考察:今回開発した脳年齢測定システムの日本人以外の人種を含む他コホートへの応用可能性を詳細に検討する。応用可能性が証明されれば、認知症予防システムとして脳検診などに用いることができる。脳年齢が高齢化していれば、生活指導などにより高齢化を抑えることができると期待される。また、今回新たに開発した構造ネットワーク解析をさらに多数例の健常者およびアルツハイマー型認知症群に応用し、アミロイドおよびタウ蛋白蓄積との構造ネットワークの関連性を検討する。その際に、タウPETには第二世代のPETトレーサを用いるのが望ましい。

結論: 3 次元 T1 強調画像から算出される脳年齢および構造ネットワーク解析は新たな画像バイオマーカとして認知症予防や臨床への応用が期待される。

参考文献:

[1] Beheshti I, et al. T1-weighted MRI-driven Brain Age Estimation in Alzheimer's Disease and Parkinson's Disease Aging Dis. 2020; 11: 618-628.
[2] Shigemoto Y, et al. Gray matter structural networks related to ¹⁸F-THK5351 retention in cognitively normal older adults and Alzheimer's disease patients. eNeurologicalSci.

2021;22:100309

¹²³I-FP-CIT SPECT からの特異的結合比の Deep Learning による自動算出

久根崎遥加,岩渕玲,荒木啓史,湯浅哲也 山形大学大学院理工学研究科

諸言

パーキンソン病 (PD: Parkinson's Disease) は、黒質線条体のドーパミン神経細胞が変性する運動失調疾患であり、その神経終末に存在するドーパミントランスポーター (DAT: Dopamine transporter) 密度が低下していることが知られている[1]. その DAT に高い親和性を有するイオフルパン (123 I-FP-CIT) を PD 患者に投与し、SPECT (Single Photon Emission Computed Tomography) で画像化すれば、DAT の脳内分布を確認でき、PD 患者のドーパミン神経の変性や脱落を評価できる.

現在、PD は視覚評価だけでなく定量評価を行うことで診断能の向上を図っている. その定量評価に用いられるのが,特異的結合比(SBR: Specific Binding Ratio) [1,2] であり,

$$SBR = \frac{cs}{cr} \tag{1}$$

と定義される. ここで, Cs は線条体の特異的 集積に起因する SPECT カウント濃度. Crは非 特異的集積による参照領域の SPECT カウント 濃度を示す. すなわち, SBR とは, イオフル パン投与後平衡状態に至った時点での特異的 集積と非特異的集積のカウント比である. SBR の算出には、SPECT 画像に抽出される線条体 を含むような VOI (Volume of Interest) を 設定する必要がある. 現在の医療現場では, VOI 設定は放射線技師が目視で決めることが 一般的であるが、 VOI 設定が作業者の主観に 委ねられるため、SBRの客観性は損なわれる. 先行研究では、客観性を確保するため、SPECT 画像の画素値から画像処理によって線条体を 含む VOI を自動設定し, Tossici-Bolt 法によ り SBR を算出する全自動化処理を開発した. しかし, 1573 データ中, 38 データで VOI の自 動設定に失敗した. 失敗症例は, すべて PD 患 者であり、PDの進行により線条体へのイオフ ルパンの集積が乏しく、線条体領域を正確に 捉えることができず、VOI の設定に失敗し、 SBR が算出できなかった. MR (Magnetic Resonance) または CT 画像を SPECT 画像に重 ね合わせ、線条体に対応する領域を特定する ことで高精度に SBR を算出できるが、臨床検 査では患者への負担軽減のため, SPECT 画像 のみ撮影される場合が多い. PD が進行した場 合,イオフルパン集積が乏しいため,SPECT 画像のみからは正確な SBR を得ることは難しい

一方,近年注目される Deep Learning を用いれば、データ数が確保できれば、ロバストな処理が期待できるため、線条体が不鮮明な場合にも SBR が算出できることが期待される.本研究では、Deep Learning の手法の 1 つである CNN(Convolutional Neural Network)[3-5] を用いて、SPECT 画像から回帰によりSBR 値を算出する方法を提案し、臨床データに適用することで有効性を検証する.

方法

本研究で用いた臨床画像データは, USC (University of Southern California) O PPMI (Parkinson's Progression Markers Initiative) で公開されているイオフルパン SPECT 画像を用いた. 先行研究で作製した自 動 VOI 設定処理を適用した後,処理結果を目 視で確認し、VOI 内に線条体が含まれている と判断できる 1,535 症例のデータセットを学 習データおよびテストデータとして用いた. これらのデータに対して, それぞれ Tossici-Bolt 法により SBR 値を求めた. これ らのデータから,学習データとして,Control 192 例, PD 1,186 例をランダムに抽出した. さらに、学習データは水増しにより増大させ た. 水増し方法は、実際にあり得ない変化を 与えてはいけないため、本研究では、±3 pixel の範囲でランダムに平行移動させるこ とで作成した. 残りのデータをテストデータ (Control 21 例, PD 136 例) としてモデル評 価に用いた.

入力画像は3次元画像のためデータ量が大 きくなることから,画像を縮小した.その際, n = 4 のバイキュービック法を用いて, 91×109×91の画像を91×27×23に縮小した. 画像縮小後は、画素値を 0 から 1 にスケーリ ングし、ネットワークに入力した. CNN への 入力を SPECT 画像,正解ラベルを左右それぞ れの線条体における SBR 値とし学習を行った. 畳み込み層3層,全結合層3層の計6層とし た. 全ての畳み込み層では、フィルターサイ ズを $3\times3\times3$ とし、ストライドは $1\times1\times1$ と した. プーリング層は. 2×2×2 サイズのフ ィルターとし,ストライドは2×2×2とした. 各層において、活性化関数は ReLU を用いた. 出力層では、左右線条体それぞれの SBR 値を 出力する.

損失関数として利用した Huber 損失関数は、誤差を $E(\mathbf{x})$ とし、モデルから出力された値を $f(\mathbf{x})$ 、モデルから出力された値に対応する正解データを \mathbf{y} とすると、式(2)で表される.本研究では、 \mathbf{x} を SPECT 画像、 \mathbf{y} を SBR 左右値、 δ を 1.0 とした.

$$\begin{cases} \frac{1}{2}|f(x) - y|^2 & |f(x) - y| \ge \delta \\ \delta|f(x) - y| - \frac{\delta}{2} & otherwise \end{cases}$$
 (2)

結果および考察

E(x) =

テストデータを CNN に入力して予測した SBR 値を出力 \hat{y}_i として得る. 一方,従来の自動 VOI 設定処理により得られた結果から導かれる SBR 値を y_i とする. 横軸に y_i ,縦軸に \hat{y}_i として作成した yyplot を図 1 に示す. 図 1 (a) および (b) はそれぞれ左右線条体における SBR 値に対応する. 図 1 より,直線 y=x のまわりに予測値が集積しているため,概 のまわりに予測値が集積しているため,し,図 1 において SBR 値が 6.0 より大きい領域において SBR 値が 6.0 より大きい領域における PD 群の症例数が Control 群に対して約 6 倍多かったことに起因するものと考えられる.

結言

先行研究では、SPECT 画像の画素値情報か ら線条体を含む VOI を自動的に設定し、その 後 Tossici-Bolt 法によって SBR 値を算出した. しかし、PD 群のデータではイオフルパンの線 条体への集積量が少ないため、線条体の形状 を画素値情報だけから推定するのが困難な場 合が少なからずあった. 本研究では, 先行研 究で良好な結果を得たデータを学習データと して用いて CNN を学習させ、SBR 値に回帰さ せる手法を提案した.先行研究で成功したデ ータ群に対しては, 本手法と先行手法とは同 等の精度で SBR 値を算出することができた. また, 先行手法で失敗したデータ群に対して 本手法を適用して予測された SBR 値は、他の 結果と矛盾しない妥当な値であった. 本手法 は線条体が判別できない画質の劣化した画像 に対しても SBR 値を算出できることが示唆さ れた.

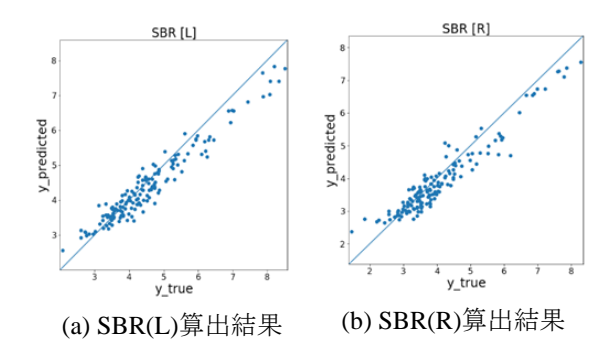


図1 SBR 値の yyplot

参考文献

- [1] イオフルパン診療ガイドライン第 2 版,日本核医学会日本脳神経核医学研究会 (2017)
- [2] L. Tossici-Bolt, "Quantification of ¹²³IFP-CIT SPECT brain images: an accurate technique for measurement of the specific binding ratio," European Journal of Nuclear Medicine and Molecular Imaging, vol. 33, no. 12, pp. 1492-1499 (2006)
- [3] R. Vaillant, C. Monrocq, Y. LeCun,
 "Original approach for the
 localisation of objects in images,"
 Proc. Vision, Image, and Signal
 Processing, vol. 141, pp. 245-250
 (1994)
- [4] D. Simard, P. Y. Steinkraus, J. C. Platt, "Best practices for convolutional neural networks,"

 Proc. Document Analysis and Recognition, pp. 958-963 (2003)
- [5] S. Lawrence, C. L. Giles, A. C. Tsoi,
 A. D. Back, "Face recognition: a
 convolutional neural-network
 approach," IEEE Trans. Neural
 Networks, vol. 8, pp. 98-113 (1997)

多重モダリティ脳画像の統計学的解析に関す る研究

分担研究者

川口 淳1)

研究協力者

田尻 涼1)

所属 1) 佐賀大学医学部

諸言

近年、数種の脳画像を統合解析するマルチモダル解析が脳疾患研究に多く応用されている.この方法の1つにマルチブロックスパース成分法(Kawaguchi 2019)がある.本方法は主成分分析に画像内と画像間の2つの重みを組み込むものであり、比較的詳細な情報を取り出すことが可能である.また画像内重みは主成分分析と同様に、第1成分より順に複数成分を算出できる.しかし画像間重みは複数成分を算出できる.しかし画像間重みは複数成分を考慮していないため、限定的な情報しか見出せない.本研究では、両重みの複数成分を考えたスパースネスト成分法を提案し、アルツハイマー病の実データに適用し、性能の評価を行う.

方法

1 個人あたり複数の脳画像データからスパースネスト成分法により被験者毎にスコアを算出し、診断確率をロジスティック回帰モデルで推定する方法を提案した。開発した方法の実行可能性を実データに適用して行い、精度についても検討を行った。US-ADNI データのベースラインにおいて sMRI と DTI の両方が測定された 42 名を用いた。汎化性を評価するた

めにデータを二分した. モデル構築用として 正常 14名と AD (Alzheimer's Disease) 14名 とし, Validation 用として, 正常 7名と AD 7名とした.

結果

提案法のアルゴリズムを検討しプログラムコードを作成した.ネスト成分で新たに有意に疾患予測に寄与する成分の抽出ができた.判別に重要な部位として海馬付近が示されるという合理的な結果を得て,疾患予測に関するAUCは0.98となり,既存法の0.86を上回り,提案方法の良さを示すことができた.

考察

適用データ数が少ないかもしれない(28 例+14 例)が、合理的な重要部位が示されている点からこの症例数でも解析可能かもしれない. これは提案方法が次元縮小を行う方法という点も効果的かと考えられる. 画像の欠測を補完する方法も試すなどさらなる検証が必要かもしれない.

結論

実データによる実行可能性を示し、ネスト成分に疾患を説明する有用な情報の存在を示唆した.これにより、多種の画像への応用が期待され、今後応用を広げていく.

参考文献

Kawaguchi A (2019). Supervised Sparse Components Analysis with Application to Brain Imaging Data, Neuroimaging - Structure, Function and Mind, Sanja Josef Golubic, IntechOpen, DOI: 10.5772/intechopen.80531.

Arterial Spin Labeling および MR spectroscopy の撮像・解析の標準化に関する研究

分担研究者 原田雅史 1) 研究協力者

大友真姫 1) 松元友暉 1) 1)徳島大学大学院医歯薬学研究部 放射線医学分野

諸言

Arterial spin labeling (ASL) 法は、ラジオ波のラベリング時間やラベル後から信号取得までの時間 (PLD時間) に影響をうけ、血流速や流路長の違いによって定量値が変化する。より高精度かつ高分解能で血流遅延の影響を補正するために、信号取得タイミングの工夫を行い、1度の撮像で血流遅延マップと遅延補正脳血流量及び非補正脳血流量マップを算出できるMulti-delay ASL法を作成した。本研究ではASL法の至適パラメーターの決定と再現性や精度の評価を行った上で、各年齢群ごとの正常者データベースを作成し、自閉性障害やADHD等の脳機能疾患について検討を行った。

MR spectroscopy (MRS) については、3T以上のproton MRSの測定においては、従来のPRESS法よりもLaser法またはSemi-Laser (SLaser)法を用いることが望ましいとするコメントが発表された1)。そこでSLaser法及びSTEAM法とPRESS法を用いてMRSファントムを測定し、その再現性と代謝物定量値のばらつき及び各代謝物定量値の相違について検討を行った。

方法

撮像シークエンスは、全頭部を対象に 3DT1 強調像として 3DSPGR 法を施行し、次に 3 種類 の post labeling 時間による 3D pseudocontinuous arterial spin labeling (ASL)法 を撮像した。撮像条件は下記の通りである。 3DSPGR: TR=8.6 ms, TE=3.5ms, flip angle = 15° , field of view=22cm, voxel size=1.6 $\times 1.6 \times 1.6$ mm3, スライス枚数=176 枚 3DpCASL: Spiral scan SE 法,スライス厚= 4 mm, location per slab=36, points=512 arms, arms=6, echo train=40, PLD times: $1^{\rm st}$ 1.00, $2^{\rm nd}$ 1.57, $3^{\rm rd}$ 2.46 s, effective labeling times: 0.57, 0.89, 2.04 s, chemical saturation=Fat, vessel suppression off,

結果

撮像時間=3:40

1) Multi-delay ASL法の再現性と性差や性周期による脳血流量の変化の検討

男性の脳血流定量値の再現性は、流速補正なし α =0.852、補正有り α =0.852といずれも高い再現性を認めた。女性の脳血流定量値の再現性も、流速補正なし α =0.836、流速補正あり α =0.832と男性よりやや低いが統計学的に有意な範囲(p<0.01)であった。通過時間に基づくdelay mapの再現性は、男性で α =0.962、女性で α =0.924と脳血流定量値より高かった。男性と女性とでは、脳血流定量値及び通過時間ともに再現性では男性が高い傾向が認められた。

男性と女性の脳血流定量値では、各部位で 女性の方が男性よりも高値であり、卵胞期の 方が黄体期よりも高値である傾向が認められ た。

2)Multi-delay ASL法による自閉症の検討

自閉症症例では左島回、左上頭頂小葉、上側頭回と下前頭回でコントロールにくらべて低値を認めた。これらは、ミラーニューロンと関連する部位であり、自閉症におけるミラーニューロンシステムの機能低下を示唆する結果と考えられ、これまでの報告とも矛盾し

ないと考えられた。

3)高磁場 3TMRI における SLaser 法の優位性 の検討

級内相関による再現性は、STEAM 法が 0.994 と最も低く、PRESS 法と SLaser 法が 0.999 と 高かったが、変動係数では SLaser 法が 0,54 と最も低く、PRESS 法が 2.01、STEAM 法が 3.17 であった。 さらに各代謝物の定量値との比較 では、STEAM 法と SLaser 法では、NAA, Cr, Cho との有意差は認めないが、mIns, Lactate, Glu とは有意差が認められ、定量値が異なる ことが示唆された。

4) Multi-delay 3DASL 法による小児 AD/HD 症例の脳灌流評価と volumetry 解析の比較検討 AD/HD では、左縁上回に有意な血流低下 (p<0.001)を認め、灰白質容積では右縁上回の有意な減少(p<0.001)を認めた。また、AD/HDでは、右上後頭回の血流もp<0.01の閾値で低下が認められ、同部の灰白質容積でも有意な低下(p<0.001)が認められた。男児と女児とで比較すると、男児では右縁上回と右中前頭回で脳血流の低下(p<0.01)が認められ、容積でも同部位の有意な減少(p<0.001)を認めたが、女児では左上前頭回での有意な脳血流の増加(p<0.001)と灰白質の増加(p<0.001)を認めた。

考察

AD/HD 症例には性別による発症頻度や病態の違いが知られているが、我々の脳灌流と灰白質容積での評価でも異なる傾向が認められた。男児では縁上回における血流や容積の低下が関係し、女児では上前頭回の血流や容積増加に関連している可能性が示唆された。

Multi-delay 3DASL 法は放射線被曝を伴わ

ず非侵襲的に脳血流を評価でき、一回の MRI 検査によって脳機能と形態的変化の両方を同 時に検討でき、相互の関連や病態の背景を評 価することが可能と考えられ、有用性が高い と考えられた。また、SLaser 法による代謝物 評価の再現性は高く、MRI を用いた形態、機能、 代謝の評価を可能とすると考えられる。

参考文献

Martin Wilson et al. Methodological consensus on clinical proton MRS of the brain: Review and recommendations.
 Magn Reson Med. DOI: 10.1002/mrm.27742 On line Publication 2019 Apr

アミロイド PET およびドーパミントランスポータ PET/SPECT の標準化に関する研究

分担研究者所属:国立精神・神経医療研究センター、統合イメージングセンター 分担研究者氏名: 髙野晴成

緒言: 脳内のドーパミントランスポーター (DAT) とアミロイド β 蛋白 (アミロイド) は single photon emission computed tomography (SPECT) や positron emission tomography (PET) などの核医学的手法によって画像化が可能である。これらはそれぞれパーキンソン病関連疾患、アルツハイマー病のイメージングバイオマーカーである。

SPECT 用 DAT 製剤 DaTSCAN (123I-イオフルパン) は本邦で 2014 年に保険収載され広く使用されつつあるが、視察的な読影が基本であり、定量的な評価は標準化されていなかった。われわれは前期の研究で多施設共同で幅広い年齢層で男女のバランスのとれた多数例の日本人の健常データベースを作成し、画像処理、解析、生体側の因子である性差加齢変化の定量データに与える影響を検討した。

アミロイド PET に関しては[11C]Pittsburgh Compound B (PiB) がアミロイド PET のプロトタイプとして臨床研究で以前よりよく使われている。より半減期の長い 18F 製剤である [18F]flutemetamol, [18F]florbetapir の方が広く治験や臨床研究に使われるようになっており、近年、欧米に引き続いて本邦においてもごく最近製造販売の承認が得られ、デリバ

リー供給が開始された。しかし、本邦では保険収載はされておらず、今後の臨床現場における臨床的有用性の蓄積が待たれる。また、アミロイドPET は今のところ個々の症例に対し、製薬企業の規定する一定の手順に従った視察での陽性、陰性の判定と剖検脳でのアミロイド蓄積量と相関のエビデンスがあるのみであり、定量的なデータについての十分なエビデンスはない。特に、本邦のデータは少なく、日本人の脳でのデータベースを作成して標準化、定量化を検討することは本邦における正確な診断や治療効果判定の礎となるものと期待される。

方法

The Global Alzheimer's Association Interactive Network(GAAIN)の公開データを 用いた。GAAINの[11C]PiBと [18F]flutemetamolのセットである若年健常 者24名(YHV)、アルツハイマー型認知症 (AD) 19 名、健忘型軽度認知障害 (aMCI) 20 名、健常高齢者 9 名 (OHC) のデータ (Others) を使用した。PMOD の PNEURO module O Maximum Probability Atlas application (スライド2) を用い、PMOD に 内包されている Centiloid atlas 関心領域 (CTX; cortical target region: 前頭葉、 側頭葉、頭頂葉皮質、楔前部、前部線条体、 島皮質を含むアミロイドが蓄積しやすい部位 の総和、とWC; whole cerebellum) で集積 を定量化し、CTX/WC比(standardized uptake value ratio; SUVR) を算出した。統 計解析には SPSS ver. 25 を用いた。

結果

若年健常者の SUVR は平均 1.14±標準偏差 0.08で最大 1.37, 最小 1.02であった。その他の群(アルツハイマー型認知症、健忘型軽度認知障害、健常高齢者)は平均 1.66±標準偏差 0.48で最大 2.49, 最小 1.05であった。公開されている原法による SUVR 値と今回の SUVR 値の間の Pearson の相関係数 R は 0.981、p=0.000と高い相関を示した。今回の若年健常者の平均 SUVR1.14を 0, AD 群 (n=18)の平均 SUVR2.02を 100として、Centiloid Scale (CL) = 100× (Individual_SUVR - 1.14)/(2.02 - 1.14) により [18F] flutemetamol の CL 値を算出した。

考察: ¹²³I-イオフルパン SPECT の健常データ ベースに関しては Matsuda らが報告したデー タを画像統計解析の手法を用いてさらに解析 を加え、性差・加齢に伴う変化も線条体内に 部位差が存在することを見出した。

結論:我が国の脳画像研究・診療の先導的立場にある当センターで本研究により統合的なデータベースを作成し、定量化の検討をすることは、本邦のこれらの画像を用いた臨床・研究の推進にも寄与するものと思われる。

参考文献:

[1] Matsuda, Murata, Mukai, et al.

Japanese multicenter database of healthy controls for [123I]FP-CIT SPECT. Eur J

Nucl Med Mol Imaging

45 • 8 • 1405-1416

2018

[2] Shigemoto Y, et al. Gray matter

structural networks related to ¹⁸F-THK5351 retention in cognitively normal older adults and Alzheimer's disease patients. eNeurologicalSci.

2021;22:100309

BOLD fMRI による脳機能測定の標準化に関する研究

分担研究者所属:国立精神・神経医療研究センター 統合イメージングセンター

分担研究者氏名: 花川隆

緒言: RsfcMRIは、BOLD-fMRIが精神・神経疾患の実地臨床に使えるツールとして一気に発展する可能性を秘めているが、そのためにはどの施設でも使えるような標準的手法を確立したうえで、結果に明快な解釈を与える手法を考案する必要がある。本研究では、日常臨床のツールとして用いることができるrsfcMRI法を開発し、多施設rsfcMRIデータに由来するデータベースを元にした疾患判別や重症度評価法について研究開発を行う。

方法:脳卒中の亜急性期rsfMRIを用いた運動障害程度の予測(AAL/Freesurfer 関心領域間の機能結合の計算に基づく)では、独立成分分析(ICA)に基づくdual regression法で分離したネットワークからrsfcMRI時系列情報を抽出し、機械学習により疾患群と健常群の判別に寄与する時間変動パターンの特性を抽出し、判別の性能を向上が向上するかを検討した。BOLD rsfcMRIによるParkinson病のすくみ足の予測を行った。また健常被験者40名から脳波と課題および安静時fMRIの同時計測を行い、BOLD信号の動的変動(dynamic FC)と脳波の各周波数帯域のパワーの時間変動との相関解析を行なった。

結果:脳卒中の亜急性期 rsfMRI を用いた運動障害程度の予測(AAL/Freesurfer 関心領域間の機能結合の計算に基づく)では、AAL/Freesurfer の関心領域を用いる方法と

比較して、改善は認められなかった。BOLD rsfcMRI による Parkinson 病のすくみ足の予 測では、ICA に基づく dual regression 法で 分離した基底核、小脳ネットワークの結合性 とすくみ足指標が相関した。 さらに関心領域 (Freesurfer) から抽出した FC の LASSO 解析によりすくみ足スコアの分散の 6 割程度を 説明可能であった。脳波と課題および安静時 fMRI の同時計測では、後頭部 α 波の時間変動と異なる相関を示す二種類の視覚関連ネットワークを同定した。

結論:今後、多施設データへの判別性能の汎化を検討する。多施設データの蓄積とデータベース化を推進する。施設間のデータの平均の差に加えて、分散の差をモデルした手法を応用し、多施設rsfcMRIによる精神・神経疾患のAI判別法の開発を進める。

参考文献:

- [1] Tsuchimoto S, Shindo K, Hotta F, et al. Sensorimotor connectivity after motor exercise with neurofeedback in post-stroke. Neuroscience 416, 109-125, 2019
- [2] Uehara K, Furuya S, Kita K, et al. Distinct roles of brain activity and somatotopic representation in pathophysiology of focal dystonia. Hum Brain Mapp 40(6), 1738-1749, 2019

精神・神経疾患での脳画像撮像および解析手

法の標準化に関する研究

分担研究者所属:国立精神神経医療研究セン

ター病院

分担研究者氏名:木村有喜男

【緒言】

脳幹における神経線維束の異常を伴う奇形症候群には、Joubert 症候群、進行性脊柱側弯症を伴う水平注視麻痺(HGPPS), Tubulinopathy, Pontine tegmental cap dysplasiaなど様々な疾患で報告されている。従来のMRIでは、形態的な奇形を同定することはできても、異常な神経線維束が複雑に存在する脳幹では困難であった。これらの異常神経線維束を検出することは、先天性脳奇形の診断に役立ち、その病態の理解を深めることになる。

位相差強調画像化法 (phase difference enhanced imaging: PADRE) は位相画像情報の中に含まれる組織の磁性情報を用いて新しいMRI 診断画像を作成する方法である。適切な位相を選択することで、組織間のさまざまなコントラストを作成し、脳内の組織構造や神経線維束を描写することができる。本研究では PADRE と、従来法である T1WI や T2WI における加齢に関連する乳児の脳幹および視放線の神経線維束の描出を比較評価することを目的とした。

【方法】

当院にて脳 MRI を受けた 2 歳未満の異常所見を認めない 21 人 (男性 14 名、女性 7 名、生後 1 か月~2 3 か月)の連続した被験者を対象とし、2 人の神経放射線科医が後方視的に評価した。下小脳脚、内側縦束、中央被蓋路、内側毛帯、外側毛帯、上小脳脚、上小脳脚、および視放線の8つの部位を、PADRE、T1WI および T2WI のそれぞれのコントラストを良(2点)、可(1点)、不可(0点)の3ポイントにて評価した。

【結果と考察】

生後 1 か月までは T2WI が組織および神経線維束をよりよく描写することができたが、T1WI も含め加齢とともに徐々に不明瞭になった。対照的に、PADRE では 1 か月までは不明瞭であったが、加齢とともに徐々に明瞭に描出されるようになった。以上より、PADRE は、T1WI および T2WI と組み合わせることで、乳

児の脳における神経線維束の発達の評価に役立つと考えられた。

【結論】

PADRE 画像は乳児の神経線維束を描出することができ、その描出は加齢によって異なることがわかった。PADRE 画像、T1WI, と T2WI の組み合わせは、乳児の神経線維束の発達を評価するのに有用である。PADRE は鋭敏に小児における微細な脳構造の発達過程を評価の指標になりうるものと思われる。これまでの技術では得られない新しいレベルのコントラストが得られるため、指標を基に様々な疾患の診断にも利用可能である。本研究の成果は小児脳画像診断における発達の指標として診断に利用されるものと考える。

【参考文献】

- 1. Kakeda S, Korogi Y, Yoneda T, et al. A novel tract imaging technique of the brainstem using phase difference enhanced imaging: normal anatomy and initial experience in multiple system atrophy. Eur Radiol. 2011;21:2202-10.
- 2. Kakeda S, Yoneda T, Ide S, et al. Signal intensity of superficial white matter on phase difference enhanced imaging as a landmark of the perirolandic cortex. Acta Radiol. 2016;57:1380-6.
- 3. Niwa T, Yoneda T, Hayashi M, et al. Characteristic phase distribution in the white matter of infants on phase difference enhanced imaging. J Neuroradiol. 2018;45:374-9.

A study on standardization of acquisition and analysis of neuroimaging data in neuropsychiatric diseases Noriko Sato, MD, PhD.

Dept of Radiology, National Center of Neurology and Psychiatry Hospital

Neuroimaging is an objective and reliable diagnosis method, and importance is attached to the field of image analysis in neuropsychiatric diseases. However, the image quality and its analytic method vary from institution to institution and from imaging equipment to imaging equipment. Therefore, image acquisition technology and the image-analysis technique need to be standardized for a multicenter study. This study aims at performing this standardization in MRI and PET. If the objective findings resulting from the standardized image-analysis method are incorporated in the diagnostic criteria of neuropsychiatric diseases, it is expected that the evaluation of drug effects will become possible in a short period and with a small number of subjects.

A large amount of healthy data is required to construct a brain age estimation model. But the differences of MRI models or the magnetic field strength cause problems in utilize the MRI image quality. We harmonized MR images by the ComBat method using empirical Bayesian inference, and examine the improvement of MR imaging generalization. A brain age estimation model was constructed using 3T MRI of 1196 healthy volunteers. The verification data set was 146 healthy subjects from J-ADNI 1.5T MRI. We have shown that the harmonizing improved the accuracy of brain age estimation by machine learning between 1.5T and 3T MR images. This is considered to indicate the improvement of generalization of MRI in machine learning methods that require a large amount of data.

We developed brain age estimation and structural network analysis for structural MRI. The brain age of Alzheimer's disease is about 15 years advanced at the chronological age of 60. We also examined the effects of aging and gender on these network images of 160 men and 160 women with normal cognitive function. With age, betweenness centrality, clustering coefficient, and degree centrality decreased significantly in the thalamus, caudate nucleus, and anterior cingulate cortex. Path length was similarly reduced in the thalamus and caudate nucleus. The small-world characteristics also decreased with aging, but especially γ (the ratio of the clustering coefficients of the real network and the random network) and the small-world characteristics decreased more steeply in women. In a gender comparison of the four network indices, the clustering coefficient for women was higher in the left hippocampus and in the left parahippocampus than in men. Males showed higher degree values in a wide range including the thalamus and anterior cingulate cortex. The characteristic path length was higher in women in the thalamus, caudate nucleus, and anterior cingulate cortex. The betweenness centrality was higher in men over a wide area, including the anterior cingulate cortex and the

hippocampus. In the study combined both MRI and PET, structural network analysis revealed that tau accumulation weakened the network in the amyloid positive Alzheimer's disease spectrum group, whereas its accumulation enhanced the network in the amyloid negative healthy elderly group.

Regarding arterial spin labeling (ASL), we studied multi-delay 3D ASL method and MR spectroscopy to clarify the accuracy and reproducibility of these methods, and demonstrated the sex difference of cerebral blood flow between females and males. Furthermore, patients with autistic spectral disorder and AD/HD were examined using multi-delay 3DASL, and the differences of regional perfusion by functional disorder were clarified. It is considered that 3DASL and MRS are useful to evaluate both function and morphology in the brain.

The phase difference enhanced image PADRE is an imaging method that has recently been used in clinical MRI, but is a new technique for enhancing the tissue contrast in the brain by enhancing the phase difference. Amyotrophic lateral sclerosis (ALS), in which neurons in the primary motor cortex degenerate, is a degenerative disease that causes progressive motor dysfunction. It was named Zebra sign because it was recognized as having three or four layers. Since many patients with multiple system atrophy (MSA) also have pyramidal tract symptoms, we compared the relationship between this Zebra sign and clinical symptoms in both disease groups. The subjects were ALS, MSA and 26 controls, respectively. The Zebra sign was evaluated by MR in the disease and control groups. The results showed that 50% of the ASLs had a Zebra sign, and the Zebra sign positive group had a significantly higher upper motor neuron burden score than the negative group. In MSA, Zebra sign was positive in 23%. The PADRE imaging is also able to delineate the nerve fiber bundles in infants, and the delineation gradually became clearer with aging. The combination of PADRE, T1WI, and T2WI would be useful for evaluation of nerve fiber bundles in infants.

In the prediction of the degree of motor impairment using rsfMRI in the subacute phase of stroke (based on the calculation of functional connections between AAL / Freesurfer regions of interest), rsfcMRI time series from networks separated by dual regression based on independent component analysis (ICA) Information was extracted, and the characteristics of the time-varying patterns contributing to the discrimination between the disease group and the healthy group were extracted by machine learning, and it was examined whether the performance of discrimination could be improved. However, in the studies to date, no improvement has been observed compared to the method using the region of interest of AAL / Freesurfer. BOLD rsfcMRI was used to predict freezing feet in Parkinson's disease. Freezing index was correlated with the connectivity of basal ganglia and cerebellar networks separated by ICA-based dual regression method.

We devised a deep learning based method to automatically calculate SBR (Specific Binding Ratio) from a SPECT (Single Photon Emission Computed Tomography) image

with ¹²³I-FP-CIT, which is a diagnostic index for Parkinson's disease. The system is based on CNN (Convolutional Neural Network), and outputs a SBR from a ¹²³I-FP-CIT SPECT image directly. We performed a classification testing between PD and normal groups based on the SBRs calculated by the CNN using the PPMI (Parkinson's Progression Markers Initiative) database provided form University of Southern California to obtain a high AUC (Area Under Curve of ROC curve) of 0.94.

To date, we have developed a new analysis method, Multiblock Sparse Multivariable Analysis, using the composite basis function method and the supervised learning method. Expand to have multiple brain image data per person. By integrating multiple data sets that had been analyzed individually until now, disease characterization and the like are performed simultaneously from various angles. Brain image analysis evaluates brain pathology from the aspects of brain morphology and function as a multimodal. In the actual US-ADNI data, the proposed method was applied to various combinations of data, such as MRI, SNP, and successive measurement MRI, and showed the feasibility and reasonable results. A detailed study revealed that the setting of tuning parameters was important for practical use. This method is developed by considering two weights in the image and between the images in the principal component analysis, and the interpretation of the result is relatively easy.